

<https://doi.org/10.3799/dqkx.2025.300>



# 地下爆炸 Lg 波地震矩与源地震矩关系数值模拟

王旭亮<sup>1</sup>, 靳平<sup>2\*</sup>, 王晓明<sup>1</sup>, 刘哲函<sup>1</sup>, 唐伟<sup>1</sup>, 徐妍妍<sup>1</sup>, 李俊杰<sup>1</sup>

1. 禁核试北京国家数据中心和北京放射性核素实验室, 北京 100085  
2. 西北核技术研究所, 陕西西安 710024

**摘要:** 针对地下爆炸当量估算问题, 基于理论地震图仿真和 Lg 波谱反演方法, 系统研究了不同场地中埋深、震源成分 (ISO 源、CLVD 源、DC 源及其组合) 对源地震矩  $M_0(\text{source})$  与 Lg 波地震矩  $M_0(\text{Lg})$  关系的影响。通过定量标定  $M_0(\text{source})/M_0(\text{Lg})$  比值, 结果表明两者比值具有显著的场地依赖性: 朝鲜场地比值普遍高于 0.2, 而内华达场地低于 0.2。CLVD 和 DC 源等次生震源会显著降低朝鲜场地的 Lg 波激发效率 (降幅可达 50%), 同时埋深增大会减弱 P-S 转换效应, 导致比值进一步减小。(进一步的, 结合震源模型建立了基于 Lg 波地震矩的当量估算方法, 并以朝鲜第六次核试验数据为例进行了验证。

**关键词:** 源地震矩; Lg 波; 震源模型; 当量估算; 理论地震图。

中图分类号: P315

文章编号: 1000-2383(2026)02-647-10

收稿日期: 2025-10-13

## Numerical Simulation on the Relationship between Seismic Moment of Lg Wave and Source of Underground Explosion

Wang Xuliang<sup>1</sup>, Jin Ping<sup>2\*</sup>, Wang Xiaoming<sup>1</sup>, Liu Zhehan<sup>1</sup>, Tang Wei<sup>1</sup>, Xu Yanan<sup>1</sup>, Li Junjie<sup>1</sup>

1. CTBT Beijing National Data Center and Beijing Radionuclide Laboratory, Beijing 100085, China  
2. Northwest Institute of Nuclear Technology, Xi'an 710024, China

**Abstract:** Regarding the estimation of yield of underground explosions, this study systematically investigates the influence of burial depth, source components (ISO, CLVD, DC, and their combinations), and site conditions on the relationship between the source seismic moment  $M_0(\text{source})$  and the Lg-wave seismic moment  $M_0(\text{Lg})$ . Based on theoretical synthetic seismogram simulations and Lg-wave spectral inversion methods, we quantitatively calibrated the  $M_0(\text{source})/M_0(\text{Lg})$  ratio for different test sites. The results reveal significant site dependence: the ratio generally exceeds 0.2 for the North Korean site but falls below 0.2 for the Nevada site. Secondary sources (e.g., CLVD and DC) reduce Lg-wave excitation efficiency in the North Korean site by up to 50%, while increased burial depth weakens P-S conversion effects, further decreasing the ratio. By integrating a seismic source model, we established a yield estimation method based on  $M_0(\text{Lg})$  and validated it using data from North Korea's sixth nuclear test.

**Key words:** source seismic moment; Lg wave; source model; yield estimation; synthetic seismogram.

**作者简介:** 王旭亮(1993-), 男, 助理研究员, 从事禁核试核查地震监测方面研究。ORCID:0009-0005-0153-9002.E-mail: wang.xuliang@ndc.org.cn  
**\* 通讯作者:** 靳平, ORCID:0000-0003-2498-2654.E-mail: jinpings@nint.ac.cn

**引用格式:** 王旭亮, 靳平, 王晓明, 刘哲函, 唐伟, 徐妍妍, 李俊杰, 2026. 地下爆炸 Lg 波地震矩与源地震矩关系数值模拟. 地球科学, 51(2): 647-656.

**Citation:** Wang Xuliang, Jin Ping, Wang Xiaoming, Liu Zhehan, Tang Wei, Xu Yanan, Li Junjie, 2026. Numerical Simulation on the Relationship between Seismic Moment of Lg Wave and Source of Underground Explosion. *Earth Science*, 51(2): 647-656.

## 0 引言

估算地下爆炸的当量一直是禁核试核查地震监测领域关注的热点问题(Adushkin, 2001; Pasyanos and Myers, 2018; Jin *et al.*, 2019), 目前常用的当量估算方法有基于统计结果的震级—当量关系(Marshall *et al.*, 1971; Murphy and Mueller, 1971; Zhao *et al.*, 2012)、基于震源模型的台网平均P波频谱法(Murphy and Barker, 2001)和基于区域震相的振幅谱反演(Serenio *et al.*, 1988; Xie, 1993; 靳平等, 2004)等方法. 其中, 振幅谱反演方法根据Pn波或Lg波震相幅值反演得到事件的地震矩, 结合震源模型(Murphy and Mueller, 1971; Denny and Johnson, 1991)中的地震矩—当量关系来估算当量. 由于震源模型中的折合位移势本质上是距离归一化的Pn波位移势, 因此利用Pn波得到的源地震矩可以直接代入经典的震源模型进行当量估算. 但实际中Pn波的几何扩散受上地幔速度梯度等因素的影响较为复杂, 反演得到的源地震矩不确定度较大. 另外通过波形反演等方法反演事件震源机制(Herrmann, 1995; Zhu and Ben-Zion, 2013; 万永革, 2024; 徐志双等, 2025)也可以得到源地震矩, 但由于要计算格林函数, 所需时间较长、耗费计算资源较大. 而Lg波作为区域震相中幅值最大、最稳定的震相(何静等, 2017), 利用其振幅谱可以快速反演得到Lg波地震矩, 结果也相对稳定.

因此通过标定Lg波地震矩与源地震矩关系, 可以快速确定地下爆炸地震矩和矩震级, 进一步结合震源模型实现对当量的快速估算. 但目前来看, Lg波地震矩与源地震矩的关系并不明确. Serenio *et al.* (1988)曾对斯堪的纳维亚的工业爆破进行了研究, 得到 $M_0(\text{Lg}) \approx 0.27M_0(\text{exp})$ , 但这一结论对其他核试验场地并不一定适用. 本文以朝鲜和内华达核试验场地为例, 通过仿真不同情况下的理论地震图并反演Lg波地震矩, 对地下爆炸 $M_0(\text{Lg})/M_0(\text{exp})$ 关系进行了标定, 研究了源区介质、埋深和源成分等因素对两者关系的影响, 进而建立起基于 $M_0(\text{Lg})$ 的当量估算方法.

## 1 方法

### 1.1 Lg波地震矩反演方法

根据Xie(1993), 地下爆炸或地震事件在特定台站上的Lg波幅值谱可以表示为:

$$A(f) = S(f)G(\Delta) \exp\left(-\frac{\pi f \Delta}{Q(f)v}\right) X(f)r(f), \quad (1)$$

其中:  $A(f)$ 为Lg波位移谱;  $S(f)$ 为源频谱;  $\Delta$ 为震中距(km);  $X(f)$ 表示场地效应;  $r(f)$ 为随机干扰;  $G$ 表示几何扩散且 $G = (\Delta_0 \Delta)^{-1/2}$ ;  $\Delta_0$ 为参考距离, 可取100 km;  $v$ 为Lg波群速度(km/s);  $Q(f) = Q_0 f^\eta$ , 其中 $Q_0$ 为1 Hz时传播路径上的品质因子;  $\eta$ 为的频率指数.

对于地震事件, 源频谱可以表示为(Street *et al.*, 1975):

$$S^{\text{eq}}(f) = \frac{M_0}{4\pi\rho v_s^3} \frac{1}{1 + f/f_c} \beta, \quad (2)$$

其中:  $M_0$ 为地震矩( $\text{N}\cdot\text{m}$ );  $f_c$ 为源拐角频率;  $\rho$ 、 $v_s$ 分别为源区介质密度( $\text{kg}/\text{m}^3$ )和S波速度(km/s).

对于地下爆炸, Serenio(1988)提出了一种简化的MM71模型:

$$S^{\text{exp}}(f) = \frac{M_0}{4\pi\rho v_s^3} \frac{1}{[1 + (1 - 2\beta)f^2/f_c^2 + \beta^2 f^4/f_c^4]^{1/2}}, \quad (3)$$

其中:  $\beta = 4v_p^2/v_s^2$ .

根据(1)式, 对某一特定事件, 可以得到第*i*个台站上实际观测到的Lg谱在第*j*个频率采样点与理论值的误差( $\tau$ 为Lg波平均走时):

$$d_{ij} = \ln \frac{A_i(f_j) \sqrt{\Delta_0 \Delta_i}}{S(f_j)} + \frac{\pi f_j^{1-\eta} \tau}{Q_{0i}}, \quad (4)$$

利用(4)式可以将反演问题转化为求参数 $m = [M_0^{1-\eta}, Q_0, f_c, \eta]$ 的最优解, 使得误差 $d_{ij}$ 最小. 进一步的, (4)式可转化为求解下列方程:

$$-G\Delta m = \Delta d, \quad (5)$$

其中:  $G$ 为位移谱对4个参数的偏导数矩阵, 对地震事件:

$$G = \begin{bmatrix} \frac{\partial d_{ij}}{\partial Q_{0i}} = -\frac{\pi f_j^{1-\eta}}{Q_{0i}^2} & \frac{\partial d_{ij}}{\partial \eta_i} = -\frac{\pi f_j^{1-\eta} \tau_i}{Q_{0i}^2} \lg f_j \\ \frac{\partial d_{ij}}{\partial \ln M_0} = -1 & \frac{\partial d_{ij}}{\partial f_c} = -\frac{2f_j^2}{f_j^2 + f_c^2} \frac{1}{f_c} \end{bmatrix}. \quad (6)$$

对于地下爆炸, 则有:

$$\frac{\partial d_{ij}}{\partial f_c} = \frac{(2\beta - 1)f^2/f_c^3 + 2\beta^2 f^4/f_c^5}{[1 + (1 - 2\beta)f^2/f_c^2 + \beta^2 f^4/f_c^4]}. \quad (7)$$

对于(5)式的求解, 常用的有梯度下降算法、高斯牛顿法等. 基本原理是预设一组初始解 $m_0$ , 代入(5)式得到 $\Delta m$ , 令 $m_1 = m_0 + \Delta m$ , 反复迭代直到 $|\Delta d|$ 小于预设的误差值, 即可得到最优化参数. Xie

(1993)反演了单次事件—多台的情况,靳平等(2004)反演了多台—多事件的情况.

在实际中,当预设的初始解  $m_0$  离最优解  $m_i$  较远时,高斯牛顿算法往往不能收敛,因此我们采用 Levenberg-Marquardt 方法,即求解(5)式时引入阻尼因子  $\lambda$ ,使得:

$$\Delta m = -(G^T G + \lambda I)^{-1} G^T \Delta d, \quad (8)$$

当  $\lambda=0$  时,L-M方法退化成高斯牛顿算法,较大时,则近似于梯度下降算法.

## 1.2 Q值反演方法

一般地,反演Lg波Q值的方法有单台法(Xie and Nuttli, 1988)、双台法(Xie and Mitchell, 1990)和反双台法(Chun *et al.*, 1987)等.本文仿真时采用的是一维层状速度模型,因此当震源深度固定时,利用双台法反演出两个台站之间路径的Q值,即可视为震源到任意台站路径上的Q值.双台法的原理为:当有两个台站记录到同一次事件的Lg波信号时(假设两个台站与事件位于同一个大圆弧路径上),利用(1)式可以得到它们的位移频谱比值.类似于Xie(2002),记D为(忽略场地效应和随机干扰):

$$D = \frac{v}{\pi(\Delta_j - \Delta_i)} \ln \left( \frac{\sqrt{\Delta_j} A_i}{\sqrt{\Delta_i} A_j} \right) = \frac{f}{Q}. \quad (9)$$

结合Lg波Q值定义(Mitchell, 1980):  $Q = Q_0 f^\eta$ , 则D与Q值在对数域满足下面的线性关系:

$$\ln D = -\ln Q_0 + (1 - \eta) \ln f. \quad (10)$$

利用(10)式对观测数据进行拟合,即可得到两个台站之间传播路径上的Q值.

## 2 理论波形标定结果

理论地震图仿真采用Zhu and Rivera(2002)基于频率波数积分方法开发的fk软件,fk中可以以地震矩张量的形式设置震源.一般的,地震矩张量M可以分解为各向同性源(ISO)、线性补偿偶极源(CLVD)和双力偶源(DC),如下式所示:

$$M = M_{\text{ISO}} \begin{bmatrix} 1 & 0 & 0 \\ 0 & 1 & 0 \\ 0 & 0 & 1 \end{bmatrix} + M_{\text{DC}} \begin{bmatrix} -1 & 0 & 0 \\ 0 & 1 & 0 \\ 0 & 0 & 0 \end{bmatrix} + M_{\text{CLVD}} \begin{bmatrix} -0.5 & 0 & 0 \\ 0 & -0.5 & 0 \\ 0 & 0 & 1 \end{bmatrix}. \quad (11)$$

在仿真时,先设置好ISO源标量地震矩大小,再根据情况设置次生震源相对强度,利用(11)式得到震源的全矩张量,并根据各分量计算总的地震矩

强度,如下式所示:

$$M_0 = \frac{1}{\sqrt{2}} \sqrt{\sum_{i=1}^3 \sum_{j=1}^3 M_{ij}^2}. \quad (12)$$

对于地下爆炸,埋深一般与当量成比例,因此本文通过假设不同当量研究埋深的影响.对于震源成分,首先考虑“ISO+CLVD”源情况,其中CLVD/ISO源相对强度用  $F_{\text{CLVD}}$  表示.

我们仿真了不同当量下的理论地震图,假设当量分别为10 kt, 100 kt, 1 000 kt和10 000 kt,取比例埋深  $120 \text{ m/kt}^{1/3}$ ,则对应的埋深分别为0.26 km, 0.60 km, 1.20 km和2.60 km,相应的地震矩可以根据Denny *et al.*(1991)提出的震源模型(DJ91)和表1给出的源区介质参数得到,其中内华达场地模型(NTS)参考Stevens *et al.*(1986),朝鲜场地模型(KOR)采用Ford 2009模型(Ford *et al.*, 2009),同时取  $F_{\text{CLVD}}$  分别为0, 0.3, 0.5.

图1给出了朝鲜场地模型下,埋深为0.26 km时震中距为400~1 000 km台站上的仿真波形,红色表示用3.0~3.6 km/s速度窗截取的Lg波波形,图中可以看到明显的Rg震相.

利用截取的波形,基于上文“双台法”反演Lg波Q值.为保证反演结果的准确性,将不同震中距上的两个台站组成一个台站对,对其D值叠加取平均作为反演的观测数据.选取台站对参照如下原则:1.根据(9)式的物理意义,D值不能为负,因此当两个台站在某频率点D值为负时,在该频率点舍去该台站对比值,只考虑其他台站对的结果;2.由于速度模型为层状介质,不同台站对之间的Lg波位移谱比值趋势应该相同,因此将偏离整体结果较大的台站对舍去.依据上述原则对不同震中距上的台站自由

表1 朝鲜和内华达场地速度模型(部分)

Table 1 velocity models for North Korea and Nevada sites(partial)

	Layer(km)	$V_s$ (km/s)	$V_p$ (km/s)	$\rho$ (g/cm <sup>3</sup> )
朝鲜部分速度模型	1.0	3.09	5.35	2.57
	8.0	3.35	5.81	2.66
	20.0	3.62	6.27	2.78
	$\infty$	4.37	7.91	3.17
内华达部分速度模型	0.5	1.00	2.00	1.70
	1.0	2.00	3.30	2.10
	1.5	2.70	4.50	2.40
	1.0	3.40	5.90	2.75
	8.0	3.52	5.96	2.78
	9.0	3.61	6.11	2.80
	10.0	3.76	6.37	2.84

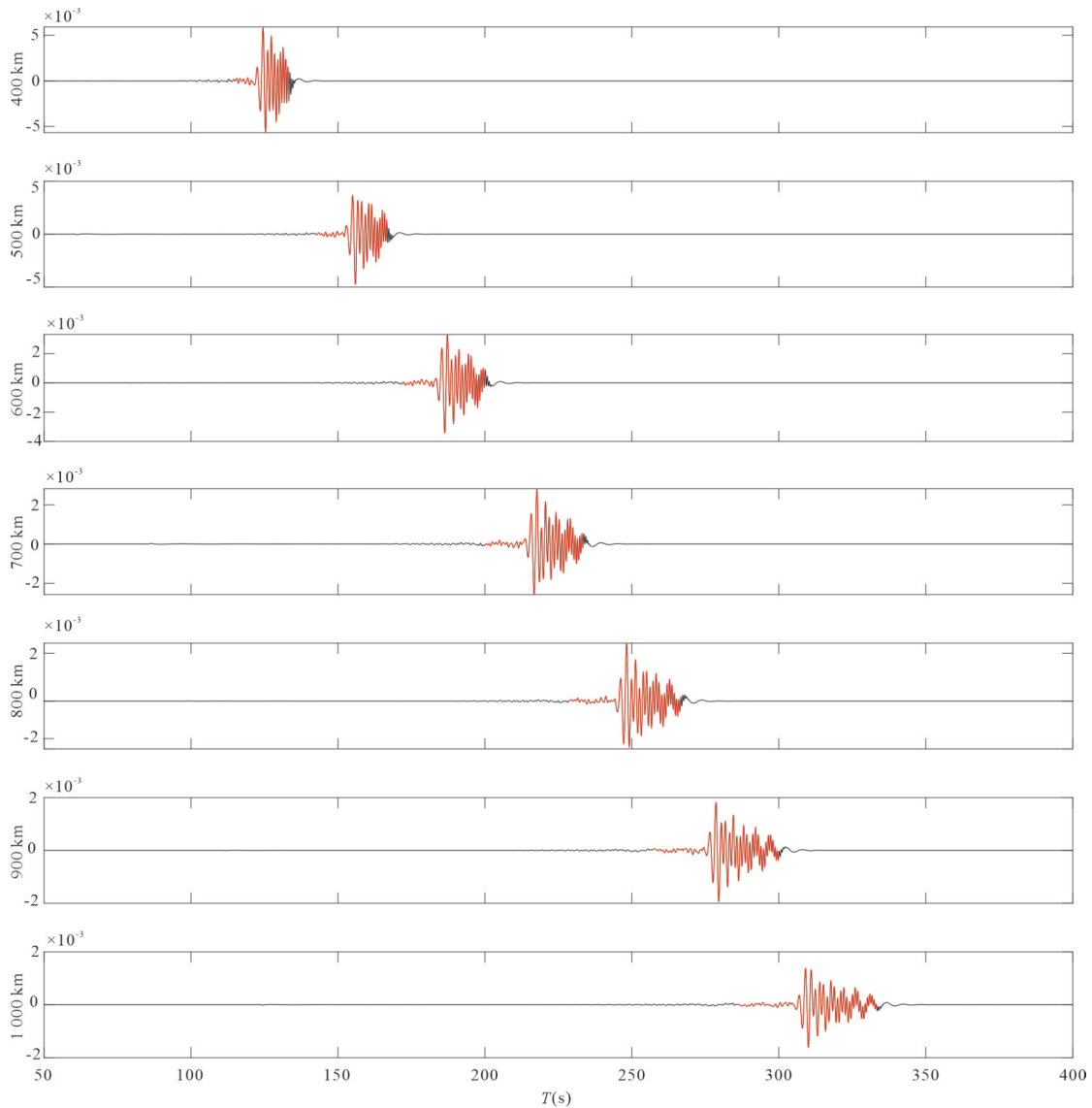


图1 纯ISO、埋深0.26 km时,400~1 000 km震中距上的理论地震图

Fig.1 With pure ISO and a depth of 0.26 km, theoretical seismogram at epicentral distances of 400~1 000 km  
红色为截取的Lg波,速度窗口为3.0~3.6 km/s

组合,取平均结果保证Q值反演结果的准确性和稳定性.

对截取的仿真Lg波形做4 096点快速傅里叶变换,并取10点光滑后得到位移谱.对位移谱进行抽样,类似于Xie(2002),抽样频带为0.2~3.6 Hz.计算各台站对的振幅谱比值,为保证结果准确性,将5组位移谱比值在相应的频率上叠加并取均值,最后利用(10)式进行拟合,观测值和理论曲线如图2所示.

根据图2中的拟合结果,我们得到传播路径上的Q值(以埋深0.26 km为例):

$$Q = 259f^{0.5}, 0.2 \text{ Hz} < f < 3.6 \text{ Hz}. \quad (13)$$

根据双台法得到的Q值,结合上节中Lg波谱反演方法进一步反演Lg波地震矩,结果如图3所示.其中星号为各台站得到的Lg波地震矩,直线表示源地震矩( $2.8 \times 10^{15} \text{ N}\cdot\text{m}$ ).可以看出,不同震中距上反演得到的 $M_0(\text{Lg})$ 相对稳定,说明了反演方法的合理性.图3下图给出了源拐角频率 $f_c$ 的反演结果,注意这里的 $f_c$ 为视拐角频率.

按照以上步骤,我们反演了不同埋深和 $F_{\text{CLVD}}$ 值情况下的Lg波地震矩,对不同场地, $M_0(\text{Lg})/M_0(\text{exp})$ 与 $F_{\text{CLVD}}$ 值关系如图4所示.可以看出,对于朝鲜场地,引入CLVD源后, $M_0(\text{Lg})/M_0(\text{exp})$ 出现明显下降,表明CLVD源会减弱Lg波的幅值,并且在震源埋深较浅时,这种减弱作用会随着CLVD源相

对强度的增强而增强,埋深较大时,CLVD 源的影响不再明显.对于内华达场地,震源相对强度的影响不大,不同源成分和埋深时的  $M_0(Lg)/M_0(exp)$  比值接近.

只有 ISO 和 DC 源情况下的反演结果如图 5 所示,DC 源的相对强度可以用  $F_{DC}$  表示,其定义为  $F = M_{DC}/M_{ISO}$ ,对  $F_{DC}$  因子取 0.3~0.6.对于 KOR 场地,相比于纯爆炸源情况,DC 源存在时  $M_0(Lg)$  也出现明显下降,但 DC 源对 Lg 的减弱作用没有 CLVD 源

明显,同时这种减弱作用也随着埋深增加而减小.对于 NTS 场地,DC 源会较轻微的减弱  $M_0(Lg)$ .

进一步考虑 ISO+CLVD+DC 源的情况,设  $F_{DC}=0.3$ ,反演结果如图 6 所示.结合图 4,图 5,对于 KOR 场地,DC 和 CLVD 源共同作用进一步减弱了 Lg 波强度,使得  $M_0(Lg)/M_0(exp)$  比值相比单一次生震源的结果都要小.对于 NTS 场地,次生震源的影响仍不明显,  $M_0(Lg)/M_0(exp)$  比值整体相对 KOR 场地较小.

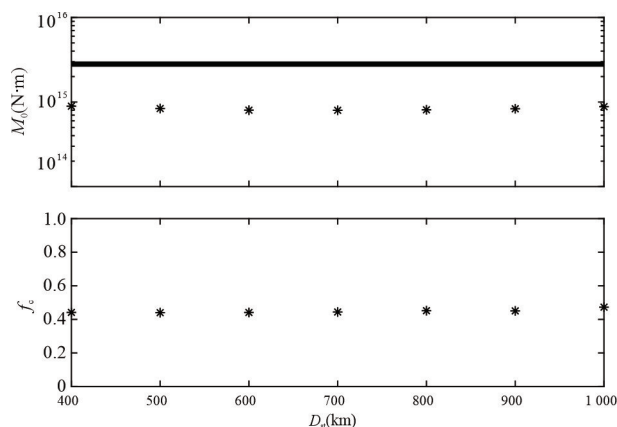


图 3 纯 ISO 埋深 0.26 km 时反演得到的 Lg 波地震矩及视源拐角频率

Fig.3 With pure ISO and a burial depth of 0.26 km, the Lg seismic moment and apparent source corner frequency obtained from inversion

直线表示源地震矩

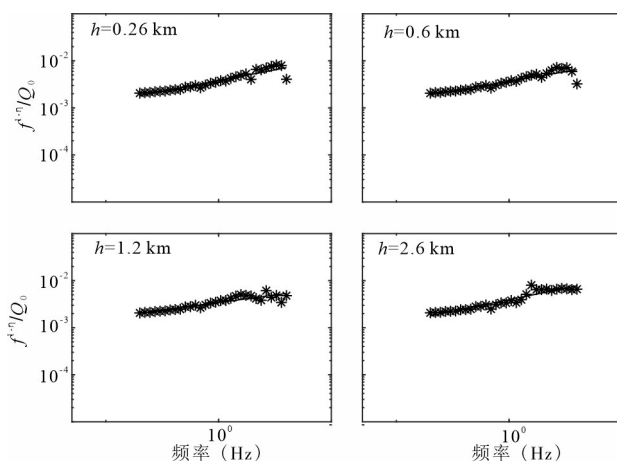


图 2 不同埋深时 Lg 波频谱比值随频率的变化

Fig.2 The Lg wave spectrum ratio with frequency at different burial depths

星号表示观测值,直线为拟合结果

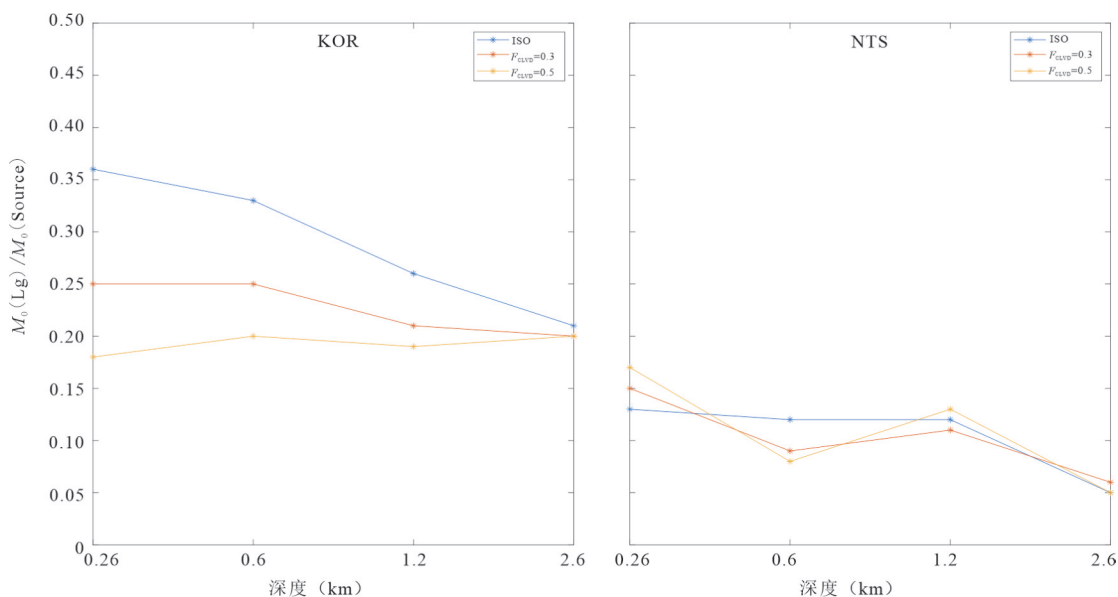


图 4 ISO+CLVD 源时,不同场地  $M_0(Lg)/M_0(exp)$  与  $F_{CLVD}$  值及埋深关系

Fig.4 Relationship between  $M_0(Lg)/M_0(exp)$  and  $F_{CLVD}$  values and burial depth for different sites when using ISO+CLVD sources

### 3 实际数据验证结果

本节根据前文结果,利用 Lg 波地震矩估算朝鲜 2017 年核试验(Kor17)当量.反演 Lg 波地震矩所用地震数据主要来源于中国数字地震台网.去除幅值明显不合理的台站后,从中筛选出震中距在  $5^{\circ}\sim 10^{\circ}$  范围内、Lg 波发育较好的台站波形作为反演所用数

据.部分台站分布和 Kor17 事件位置如图 7 所示.

Xu *et al.*(2020)利用 gCAP 方法结合面波幅值比反演了 Kor17 的震源相对成分,其中假定埋深 0.5 km 和 1.0 km 时得到 CLVD 源与 ISO 源相对强度均约为 0.46,矩震级分别为 5.37 和 5.46, Liu *et al.*(2018)利用全波形反演方法得到埋深 1.5 km 情况下, Kor17 中 ISO 源成分约为 55%~60%,CLVD 源

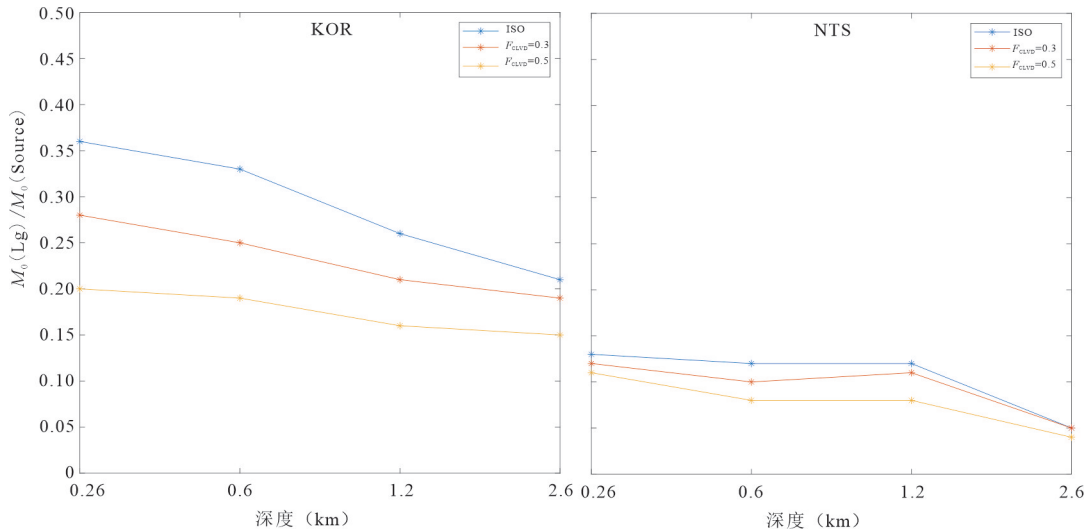


图5 ISO+DC 源时,不同场地  $M_0(\text{Lg})/M_0(\text{exp})$  与  $F_{\text{DC}}$  值及埋深关系

Fig.5 Relationship between  $M_0(\text{Lg})/M_0(\text{exp})$  and  $F_{\text{DC}}$  values and burial depth for different sites when using ISO+DC sources.

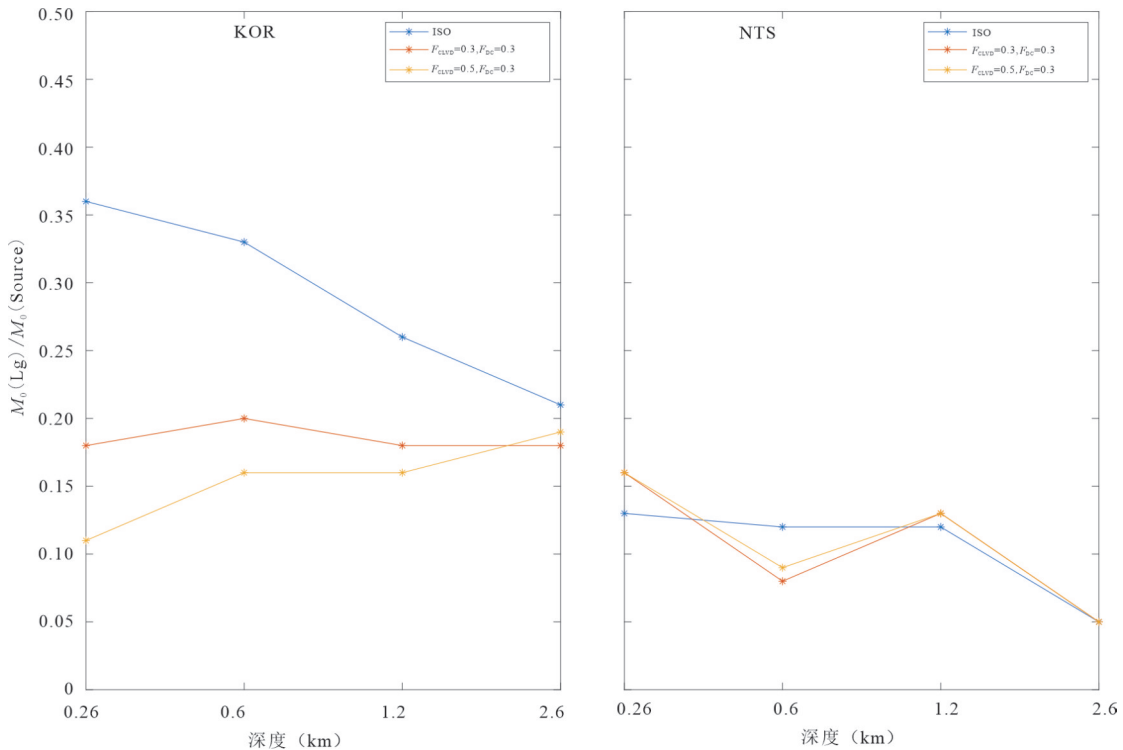


图6 ISO+CLVD+DC 源时,不同场地  $M_0(\text{Lg})/M_0(\text{exp})$  与  $K$  值及埋深关系

Fig.6 Relationship between  $M_0(\text{Lg})/M_0(\text{exp})$  and  $F_{\text{CLVD}}$  values and burial depth for different sites when using ISO+CLVD+DC sources

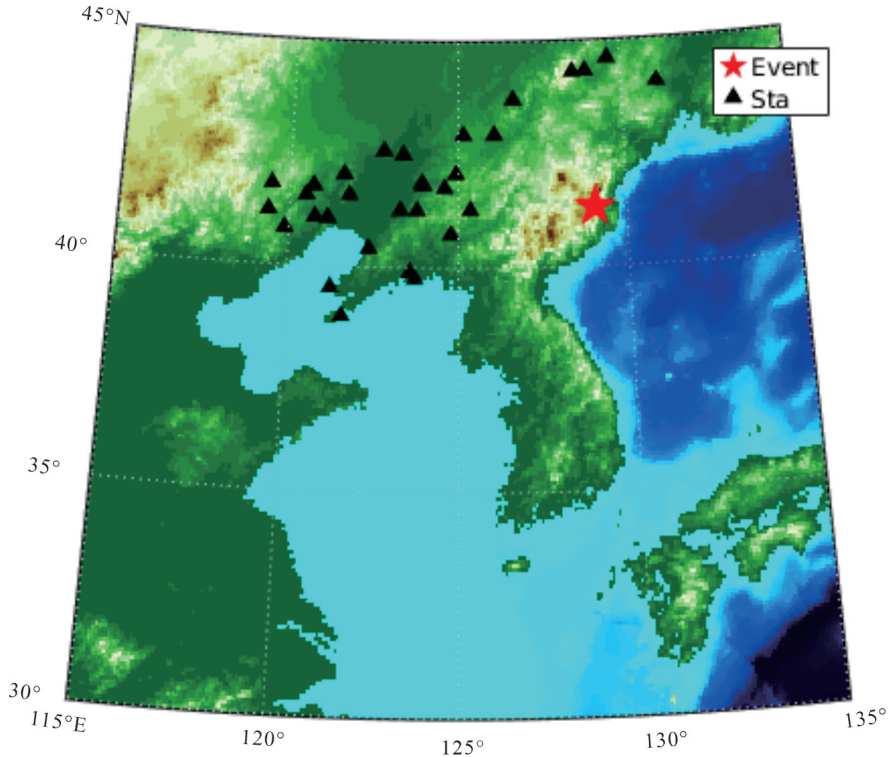


图 7 Kor17 事件位置和台站分布

Fig.7 Location of Kor17 event and distribution of stations.

成分约为 30%~45%，即 CLVD/ISO 约为 0.5~0.8，矩震级为 5.7。根据 Jin *et al*(2023)的结果，Kor17 的埋深约为 600 m。综合以上结果，假设 Kor17 埋深 0.6 km,  $M_{CLVD}/M_{ISO}$  为 0.5，结合上文图 4 中的反演结果，则对于 Kor17，有：

$$M_0^{Lg} \approx 0.27M_0^{exp}. \quad (14)$$

同时根据上文利用 Ford 2009 模型对 Lg 波 Q 值的反演结果，埋深 0.6 km、CLVD/ISO 相对强度 0.5 时有：

$$\begin{cases} Q_0 = 272 \\ \eta = 0.5 \end{cases}. \quad (15)$$

给定  $Q_0$  和  $\eta$  值后，对图 7 中的台站数据，利用 3.0~3.6 km/s 速度窗截取 Lg 波形，对其做 FFT 变换后取 0.1~5.0 Hz 频谱幅值，利用上文中的方法反演 Lg 波地震矩，部分台站的反演结果如图 8 所示，其中黑色虚线表示观测 Lg 波频谱，灰色为迭代曲线，红色为最优的参数组合下的理论谱。

图 9 给出了各台站反演得到的  $M_0(Lg)$  及其均值，可以看出反演结果有一定的离散度，其原因主要是反演前根据一维速度模型反演结果预先给出了统一的 Lg 波 Q 值，对实际中不同方向上台站的传播路径并不完全适用，因此反演结果会出现一定的

离散度和误差。

根据反演结果均值，结合 (12) 式估算 Kor17 的源地震矩，利用  $M_0 = 4\pi\rho\alpha^2\phi_\infty$  得到地下爆炸折合位移势  $\phi_\infty$ ，其中  $\alpha$  为 S 波波速。根据 DJ91 模型：

$$\phi_\infty = \frac{3.4 \times 10^9 W}{\beta^{1.1544} (\rho gh)^{0.4385} 10^{0.0344GP}}, \quad (16)$$

其中： $\beta$ 、 $\rho$  分别为源区 S 波波速和介质密度； $GP$  为空隙密度； $W$  为当量 (kt)。对于朝鲜场地，参考 Ford 模型，取  $\alpha = 5000$  m/s,  $\beta = \alpha/\sqrt{3}$ ,  $\rho = 2700$  kg/m<sup>3</sup>,  $GP = 1$ ，得到当量约为 210 kt，与其他研究估算的结果较为一致 (Jin *et al.*, 2023; Lu *et al.*, 2024)。

## 4 讨论

本文基于 Lg 波地震矩的当量估算方法利用了地下爆炸震源模型，这一模型是 Denny *et al*(1991) 根据不同国家地下核爆炸、化爆和实验室爆炸测量结果，采用回归分析方法得到的经验模型，因此基于此模型得到是面向全球的平均结果。除模型本身外，介质参数也会对当量估算结果有明显的影响。在对朝鲜第六次核试验当量估算中，尽管我们已经根据朝鲜地区的速度模型选择了合适的参数，但这些参数来源于一维速度模型，无法完全代表试验场

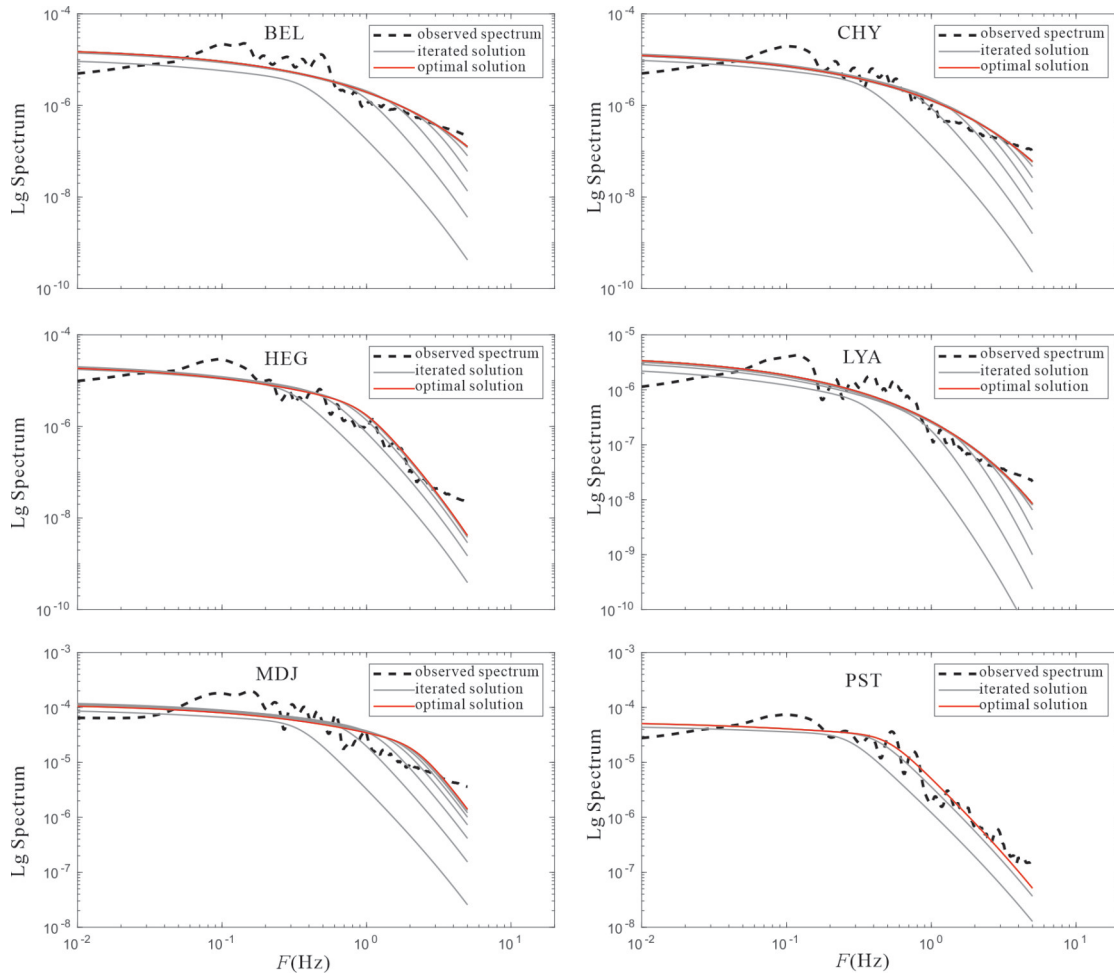


图8 部分台站反演结果

Fig.8 Inversion results of partial stations

黑色虚线为观测 Lg 波频谱,灰色为迭代曲线,红色为最优结果

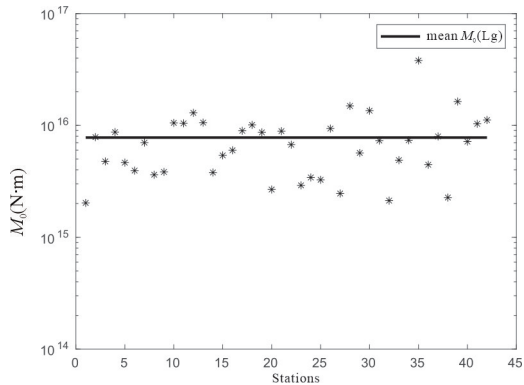


图9 Kor17 Lg波地震矩反演结果

Fig.9 Seismic moment inversion results of Lg of Kor17

地精确的介质特性,因此模型本身的形式以及参数的误差都会导致当量估算结果的误差.

针对本文发现的 Lg 波强度随埋深下降问题,我们进一步测量了纯 ISO 源情况下,不同深度时的 P/

S 幅值比(以朝鲜速度模型为例),结果如图 10 所示(图中分别给出了原始波形和 1~2 Hz 滤波后的幅值比).可以看出随着深度的增加,P/S 幅值比也增大.由于爆炸源并不直接激发 S 波,观测到的 S 波主要来自 P-S 转换,P/S 幅值比增大表明了 P-S 转换效应变弱,而 Lg 波成因之一是 S 波在地壳内多次反射形成的导波(何静, 2017),因此根据仿真结果,可以推测随着爆炸埋深增大,P-S 转换效应变弱导致了 Lg 波强度的下降.

## 5 结论

本文研究了朝鲜和内华达核试验场地 Lg 波地震矩与源地震矩关系并进行了标定,分析了介质模型、源成分和埋深对  $M_0(Lg)/M_0(exp)$  的影响,结合地下爆炸震源模型建立了基于 Lg 波地震矩的当量估算方法.综合两个场地的反演结果,可以得到以

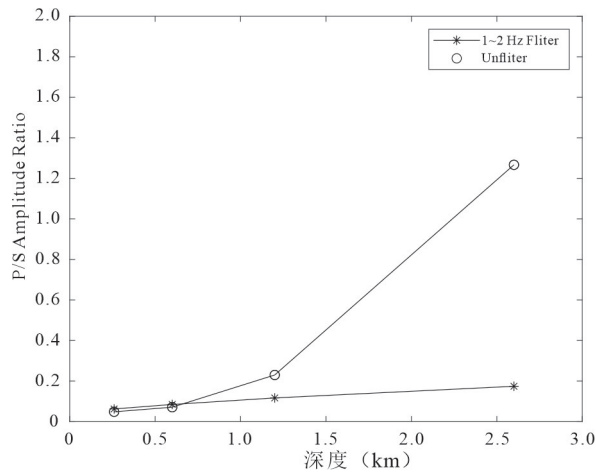


图10 朝鲜速度模型下,P/S幅值比随埋深变化

Fig.10 P/S amplitude ratio versus burial depth under the North Korean velocity model

下结论:

(1) $M_0(Lg)$ 与 $M_0(exp)$ 关系对场地有强烈的依赖性,不同场地的 $M_0(Lg)/M_0(exp)$ 比值可能会有较大差异,朝鲜场地的比值基本在0.2以上,而内华达场地在0.2以下.

(2)次生震源对不同场的影响不同,对于朝鲜场地,CLVD源和DC源会明显使 $M_0(Lg)/M_0(exp)$ 减小,表明次生震源会减弱Lg波的激发.对于内华达场地,由于单一ISO源激发的 $M_0(Lg)/M_0(exp)$ 已经较小,次生震源的影响不明显.

(3)在纯爆炸源情况下, $M_0(Lg)/M_0(exp)$ 整体上会随埋深增加而较小,根据我们仿真实验结果,主要是由于P-S转换效应变弱,S波强度下降,进一步导致了Lg波幅值减小.

通过理论仿真的方法,我们标定了两种典型核试验场地的 $M_0(Lg)/M_0(exp)$ ,并进一步以朝鲜17年核试验为例,利用区域台阵波形反演了 $M_0(Lg)$ 并估算了核试验当量,结果与其他研究结论较为一致,表明了本文建立的基于Lg波地震矩估算源地下爆炸当量方法的可行性.

需要注意的是,本文得到的 $M_0(Lg)/M_0(exp)$ 标定关系是基于一维速度模型得到的,忽略了实际中地球介质横向不均匀性造成的不同方向传播路径差异(即Q值差异),因此针对具体的场地和特定台站,要想精确地标定 $M_0(Lg)/M_0(exp)$ 比值或研究上述因素的影响,还需要更精细的三维理论地震图仿真和反演工作.

致谢:本文研究所用波形数据来自中国地震台

网中心,在此表示特别感谢.

## References

- Adushkin, V. V., 2001. Yield Estimation for Semipalatinsk Underground Nuclear Explosions Using Seismic Surface-Wave Observations at Near-Regional Distances. *Pure and Applied Geophysics*, 158(11): 2217–2226. <https://doi.org/10.1007/PL00001146>
- Chun, K. Y., West, G. F., Kokoski, R. J., et al., 1987. A Novel Technique for Measuring Lg Attenuation: Results from Eastern Canada between 1 to 10 Hz. *Bulletin of the Seismological Society of America*, 77(2): 398–419. <https://doi.org/10.1785/bssa0770020398>
- Denny, M. D., Johnson, L. R., 1991. The Explosion Seismic Source Function: Models and Scaling Laws Reviewed. *Explosion Source Phenomenology*. American Geophysical Union, Washington, D. C., 1–24. <https://doi.org/10.1029/gm065p0001>
- Ford, S. R., Dreger, D. S., Walter, W. R., 2009. Source Analysis of the Memorial Day Explosion, Kimchaek, North Korea. *Geophysical Research Letters*, 36(21): 2009GL040003. <https://doi.org/10.1029/2009GL040003>
- He, J., Wu, Q. J., Li, Y. H., et al., 2017. Developments of Earthquake Lg-Wave Attenuation Study and Its Application in the Continental China. *Progress in Geophysics*, 32(2): 466–475(in Chinese with English abstract).
- Herrmann, R. B., 1995. Broadband Seismology and Small Regional Seismic Networks. Professional Paper.
- Jin, P., Xiao, W. G., Duan, K. M., 2004. Estimating Seismic Moments and Qlgusing Lg Spectra. *Acta Seismologica Sinica*, 26(S1): 21–30(in Chinese with English abstract).
- Jin, P., Xu, H. L., Ding, S. B., et al., 2023. Source Spectra of Pg and Lg Waves from North Korean Nuclear Tests Estimated Using a Nonmodel-Based Approach. *Bulletin of the Seismological Society of America*, 114(2): 1151–1166. <https://doi.org/10.1785/0120230035>
- Jin, P., Zhu, H. F., Xu, X., et al., 2019. Seismic Spectral Ratios between North Korean Nuclear Tests: Implications for Their Seismic Sources. *Journal of Geophysical Research: Solid Earth*, 124(5): 4940–4958. <https://doi.org/10.1029/2018JB016554>
- Liu, J., Li, L., Zahradník, J., et al., 2018. North Korea's 2017 Test and Its Nontectonic Aftershock. *Geophysical Research Letters*, 45(7): 3017–3025. <https://doi.org/10.1002/2018GL077095>
- Lu, Y., Zhao, L. F., Pang, X. L., et al., 2024. Yield Estimation of North Korean Underground Nuclear Tests Using Lg-Wave Source Spectra. *Frontiers in Earth Science*, 12:

1386932. <https://doi.org/10.3389/feart.2024.1386932>
- Marshall, P. D., Douglas, A., Hudson, J. A., 1971. Surface Waves from Underground Explosions. *Nature*, 234(5323): 8–9. <https://doi.org/10.1038/234008a0>
- Mitchell, B. J., 1980. Frequency Dependence of Shear Wave Internal Friction in the Continental Crust of Eastern North America. *Journal of Geophysical Research: Solid Earth*, 85(B10): 5212–5218. <https://doi.org/10.1029/JB085iB10p05212>
- Murphy, J. R., Barker, B. W., 2001. Application of Network-Averaged Teleseismic P-Wave Spectra to Seismic Yield Estimation of Underground Nuclear Explosions. *Pure and Applied Geophysics*, 158(11): 2123–2171. <https://doi.org/10.1007/PL00001144>
- Murphy, J. R., Mueller, R. A., 1971. Seismic Characteristics of Underground Nuclear Detonations. *Bulletin of the Seismological Society of America*, 61(6): 1693–1704. <https://doi.org/10.1785/bssa0610061693>
- Pasyanos, M. E., Myers, S. C., 2018. The Coupled Location/Depth/Yield Problem for North Korea's Declared Nuclear Tests. *Seismological Research Letters*, 89(6): 2059–2067. <https://doi.org/10.1785/0220180109>
- Sereno, T. J. Jr, Bratt, S. R., Bache, T. C., 1988. Simultaneous Inversion of Regional Wave Spectra for Attenuation and Seismic Moment in Scandinavia. *Journal of Geophysical Research: Solid Earth*, 93(B3): 2019–2035. <https://doi.org/10.1029/JB093iB03p02019>
- Stevens, J. L., 1986. Estimation of Scalar Moments from Explosion-Generated Surface Waves. *Bulletin of the Seismological Society of America*, 76(1): 123–151. <https://doi.org/10.1785/bssa0760010123>
- Street, R. L., Herrmann, R. B., Nuttli, O. W., 1975. Spectral Characteristics of the Lg Wave Generated by Central United States Earthquakes. *Geophysical Journal of the Royal Astronomical Society*, 41(1): 51–63. <https://doi.org/10.1111/j.1365-246X.1975.tb05484.x>
- Wan, Y. G., 2024. Focal Mechanism Classification Based on Areal Strain of Horizontal Strain Rosette of Focal Mechanism and Characteristic Analysis of Overall Focal Mechanism of Earthquake Sequence. *Earth Science*, 49(7): 2675–2684(in Chinese with English abstract).
- Xie, J. K., 1993. Simultaneous Inversion for Source Spectrum and path Q using Lg with Application to Three Semipalatinsk Explosions. *Bulletin of the Seismological Society of America*, 83(5): 1547–1562. <https://doi.org/10.1785/bssa0830051547>
- Xie, J., 2002. Lg Q in the Eastern Tibetan Plateau. *Bulletin of the Seismological Society of America*, 92(2): 871–876. <https://doi.org/10.1785/0120010154>
- Xie, J., Mitchell, B. J., 1990. Attenuation of Multiphase Surface Waves in the Basin and Range Province, Part I: Lg and Lg Coda. *Geophysical Journal International*, 102(1): 121–137. <https://doi.org/10.1111/j.1365-246X.1990.tb00535.x>
- Xie, J., Nuttli, O. W., 1988. Interpretation of High-Frequency Coda at Large Distances: Stochastic Modelling and Method of Inversion. *Geophysical Journal International*, 95(3): 579–595. <https://doi.org/10.1111/j.1365-246X.1988.tb06705.x>
- Xu, H. L., Ni, S. D., Liu, W. X., et al., 2020. Focal Mechanisms of the 2017 North Korean Nuclear Test and Its Early Collapse Event. *Geophysical Journal International*, 220(2): 737–752. <https://doi.org/10.1093/gji/ggz462>
- Xu, Z. S., Wen, X. T., Xi, N., et al., 2025. Aftershock Relocation and Intensity Distribution of the Dingri M<sub>s</sub>6.8 Earthquake in 2025. *Earth Science*, 50(5): 1759–1769(in Chinese with English abstract).
- Zhao, L. F., Xie, X. B., Wang, W. M., et al., 2012. Yield Estimation of the 25 May 2009 North Korean Nuclear Explosion. *Bulletin of the Seismological Society of America*, 102(2): 467–478. <https://doi.org/10.1785/0120110163>
- Zhu, L. P., Ben-Zion, Y., 2013. Parametrization of General Seismic Potency and Moment Tensors for Source Inversion of Seismic Waveform Data. *Geophysical Journal International*, 194(2): 839–843. <https://doi.org/10.1093/gji/ggt137>
- Zhu, L. P., Rivera, L. A., 2002. A Note on the Dynamic and Static Displacements from a Point Source in Multilayered Media. *Geophysical Journal International*, 148(3): 619–627. <https://doi.org/10.1046/j.1365-246X.2002.01610.x>

### 中文参考文献

- 何静, 吴庆举, 李永华, 等, 2017. 天然地震 Lg 波衰减研究进展及其在中国大陆地区的应用. *地球物理学进展*, 32(2): 466–475.
- 靳平, 肖卫国, 段克敏, 2004. 由 Lg 波振幅谱估算地震矩及 Lg 波 Q 值. *地震学报*, 26(S1): 21–30.
- 万永革, 2024. 震源机制水平应变花面应变的地震震源机制分类方法及序列震源机制总体特征分析. *地球科学*, 49(7): 2675–2684.
- 徐志双, 文鑫涛, 席楠, 等, 2025. 2025 年西藏定日 MS6.8 级地震余震序列精定位与地震烈度. *地球科学*, 50(5): 1759–1769.